

УДК 631.371.06

РАЗРАБОТКА МАТЕМАТИЧЕСКОЙ МОДЕЛИ И АЛГОРИТМА РЕШЕНИЯ ЗАДАЧИ ТРАНСПОРТНОГО ПЕРЕЕЗДА МОБИЛЬНОГО СЕЛЬСКОХОЗЯЙСТВЕННОГО АГРЕГАТА

В. Б. ПОПОВ, А. А. БАБИЧ

*Учреждение образования «Гомельский государственный
технический университет имени П. О. Сухого»,
Республика Беларусь*

Введение

Мобильный сельскохозяйственный агрегат (МСХА), состоящий из универсального энергетического средства (УЭС) и агрегируемой с ним посредством подъемно-навесного устройства (ПНУ) навесной машины, регулярно эксплуатируется в режиме транспортного переезда.

Важным эксплуатационным качеством МСХА является плавность хода, характеризующая его способность поглощать толчки и вибрации, возникающие при движении по неровной опорной поверхности. Плавность хода МСХА в режиме транспортного переезда оказывает влияние на эксплуатационную надежность его компонент, безопасность движения, самочувствие оператора и уплотнение почвы. Как тракторы, так и УЭСы относятся к мобильным энергетическим средствам (МЭС), колебания которых исследовались многими авторами [1]–[6], но изучены недостаточно.

В режиме транспортного переезда МСХА, состоящий из УЭС 290/450 и комбайна навесного кормоуборочного КНК-500, контактирует с опорной поверхностью только колесами энергоносителя. В сравнительно большом объеме информации, связанной с моделированием колебаний колесных МЭС [1]–[6], для режима транспортного переезда вышеупомянутого МСХА нет подходящего аналитического описания для оценки плавности его хода.

Цель работы – формирование функциональной математической модели и алгоритма решения задачи транспортного переезда МСХА, состоящего из универсального энергетического средства УЭС 290/450 и комбайна навесного кормоуборочного КНК-500.

Основная часть

Неровности опорной поверхности, в данном случае ее микропрофиль, являются основным источником низкочастотных колебаний как УЭС, так и МСХА. При этом основное влияние на плавность хода оказывают вертикальные поступательные и продольные угловые колебания [1]–[4].

От колес колебания передаются на корпус УЭС 290/450 и одновременно на находящийся в транспортном положении КНК-500. Это влечет за собой колебания нагрузки в звеньях механизма навески (МН) ПНУ, с одной стороны, и снижение уровня управляемости МСХА, с другой [7].

Геометрия неровностей микропрофиля опорной поверхности представляют собой случайный процесс, в котором, как правило, присутствуют гармонические составляющие. Так, например, сельскохозяйственный фон в виде стерни кукурузы после уборки на силос (движение поперек направления уборки) описывается

корреляционной функцией с малой случайностью и большой периодичностью [2], т. е. представляет процесс близкий к обычному гармоническому. В этом случае профиль поля в первом приближении можно представить изменяющимся по гармоническому закону.

Результаты исследований показывают, что периодические неровности можно рассматривать как непрерывное повторение единичных неровностей [2], которые можно представить в виде волны синусоидальной формы:

$$q = q_0 \sin\left(\frac{2\pi l}{l_0}\right), \quad 0 \leq l \leq l_0,$$

где $2q_0$, l_0 – высота и длина единичной неровности, соответственно.

Выражения, описывающие микропрофиль в виде периодических неровностей, целесообразно переписать в виде функций времени t :

$$l = vt,$$

где v – установившаяся скорость движения УЭС 290/450.

Тогда для периодических неровностей имеем:

$$q = q_0 \sin(\omega t), \quad 0 \leq t \leq t_{\text{пер}}, \quad (1)$$

где $\omega = 2\pi v/l_0$ – циклическая частота периодических неровностей, $t_{\text{пер}}$ – время, необходимое МСХА для переезда нескольких неровностей.

При составлении расчетной схемы динамической модели транспортного переезда МСХА были приняты следующие допущения:

- УЭС движется равномерно и прямолинейно, и профиль опорной поверхности под его правым и левым движителями одинаков;
- колебания МСХА рассматриваются в продольной вертикальной плоскости его движения;
- КНК-500 в транспортном положении считается жестко связанным с корпусом УЭС 290/450, его влияние учитывается изменениями положения центра тяжести и момента инерции МСХА;
- возникающие в шинах УЭС 290/450 упругие и диссипативные силы пропорциональны изменению характеристик неровности (q, \dot{q}) опорной поверхности;
- колебания трансмиссии и сидения водителя не влияют на колебания УЭС 290/450, так как они малы;
- в движении колеса сохраняют точечный, но постоянный контакт с опорной поверхностью.

С учетом принятых допущений и ограничений расчетная схема динамической модели УЭС 290/450 представляет колебательную систему с двумя степенями свободы (рис. 1).

Важным компоновочным параметром УЭС и МСХА, в зависимости от которого выбирается его расчетная схема, является коэффициент распределения подрессоренных масс:

$$\varepsilon = \rho^2 / L_1 L_2; \quad \rho = \sqrt{J/M}, \quad (2)$$

где ρ – радиус инерции корпуса УЭС; L_1, L_2 – расстояния от осей заднего и переднего мостов УЭС до его центра тяжести; J, M – момент инерции и масса УЭС.

Если коэффициент распределения поддресоренных масс близок к единице, то колебания передней и задней частей УЭС теоретически становятся не связанными между собой [2], [3]. При навешивании на УЭС комбайна КНК-500 происходит перераспределение веса МСХА по мостам, что вызывает изменение коэффициента ϵ , который уже отличается от единицы, что должно учитываться при формировании его динамической модели.

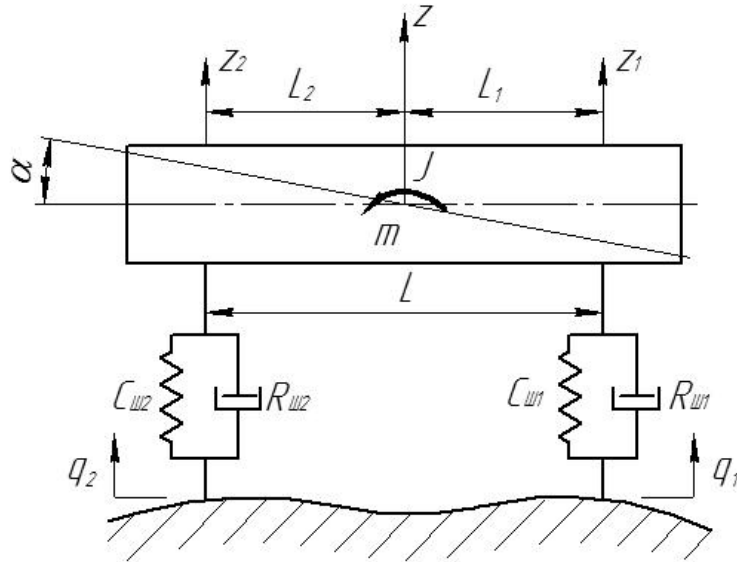


Рис. 1. Расчетная схема динамической модели УЭС (МСХА)

Для вывода уравнений движения, описывающих колебания УЭС и МСХА в вертикальной плоскости, используем уравнения Лагранжа второго рода в виде:

$$\frac{d}{dt} \frac{\partial E_K}{\partial \dot{x}_i} + \frac{\partial E_{\Pi}}{\partial x_i} + \frac{\partial \Phi}{\partial \dot{x}_i} = 0, \quad (3)$$

где E_K и E_{Π} – кинетическая и потенциальная энергии системы; Φ – функция рассеивания; x_i – i -я обобщенная координата.

За обобщенные координаты на схеме (рис. 1) приняты вертикальные перемещения центра тяжести z и угловые колебания α относительно центра упругости УЭС. Обобщенные координаты связаны с вертикальными перемещениями его осей через выражения:

$$z = \frac{z_1 L_2 + z_2 L_1}{L}; \quad \operatorname{tg} \alpha = (z_2 - z_1) / L. \quad (4)$$

При малых угловых перемещениях $\operatorname{tg} \alpha \approx \alpha$. Тогда $\alpha = (z_2 - z_1) / L$.

В этом случае кинетическая энергия УЭС определяется как:

$$E_k = \frac{1}{2} M \dot{z}^2 + \frac{1}{2} J \dot{\alpha}^2 = \frac{1}{2} M \left(\frac{\dot{z}_1 L_2 + \dot{z}_2 L_1}{L} \right)^2 + \frac{1}{2} J \left(\frac{\dot{z}_2 - \dot{z}_1}{L} \right)^2 = \frac{1}{2} m_1 \dot{z}_1^2 + \frac{1}{2} m_2 \dot{z}_2^2 + m_3 \dot{z}_1 \dot{z}_2, \quad (5)$$

где $m_1 = M \frac{L_2^2 + \rho^2}{L^2}$; $m_2 = M \frac{L_1^2 + \rho^2}{L^2}$; $m_3 = M \frac{L_1 L_2 - \rho^2}{L^2}$.

Навеска на УЭС 290/450 комбайна КНК-500 вызывает перераспределение масс по осям УЭС (m_1 и m_2), при этом появление массы m_3 свидетельствует об отличии коэффициента ε от единицы.

Приняв за начало отсчета положение статического равновесия УЭС (МСХА), получим выражение для его потенциальной энергии:

$$E_{\text{п}} = \frac{1}{2} 2c_{\text{ш}_1} (z_1 - q_1)^2 + \frac{1}{2} 2c_{\text{ш}_2} (z_2 - q_2)^2, \quad (6)$$

где $c_{\text{ш}_1}$ и $c_{\text{ш}_2}$ – радиальная жесткость шин переднего и заднего моста; q_1, q_2 – высота неровностей под передними и задними колесами.

Следует отметить, что высота неровностей изменяется в зависимости от времени (1), причем воздействие, вызванное неровностью поверхности, поступает на заднее колесо с запаздыванием τ относительно переднего колеса. Следовательно:

$$q_1 = q(t); \quad q_2 = q(t - \tau); \quad \tau = \frac{L}{v},$$

где v – скорость установившегося движения МСХА.

Диссипативная функция, характеризующая рассеяние энергии в шинах, имеет вид:

$$\Phi = \frac{1}{2} 2k_{\text{ш}_1} (\dot{z}_1 - \dot{q}_1)^2 + \frac{1}{2} 2k_{\text{ш}_2} (\dot{z}_2 - \dot{q}_2)^2, \quad (7)$$

где $k_{\text{ш}_1}$ и $k_{\text{ш}_2}$ – коэффициенты демпфирования в шинах передних и задних колес; \dot{z}_1 и \dot{z}_2 – производные от вертикальных перемещений соответствующих осей; \dot{q}_1 и \dot{q}_2 – производные от высот неровностей под передними и задними колесами УЭС.

Далее, выполнив необходимые дифференцирования выражений для кинетической и потенциальной энергии, а также диссипативной функции, подставим производные в уравнения Лагранжа (3). После алгебраических преобразований уравнения вынужденных колебаний МСХА можно записать как:

$$\begin{cases} m_1 \ddot{z}_1 + k_{\text{ш}_1} \dot{z}_1 + c_{\text{ш}_1} z_1 + m_3 \ddot{z}_2 = k_{\text{ш}_1} \dot{q}_1 + c_{\text{ш}_1} q_1; \\ m_2 \ddot{z}_2 + k_{\text{ш}_2} \dot{z}_2 + c_{\text{ш}_2} z_2 + m_3 \ddot{z}_1 = k_{\text{ш}_2} \dot{q}_2 + c_{\text{ш}_2} q_2, \end{cases} \quad (8)$$

где $q_1 = q_0(1 - \cos \omega t)$; $\dot{q}_1 = q_0 \omega \sin \omega t$; $q_2 = q_0(1 - \cos \omega(t - \tau))$; $\dot{q}_2 = q_0 \omega \sin \omega(t - \tau)$; ω – циклическая частота колебаний периодических неровностей опорной поверхности. Разделим первое и второе уравнения системы уравнений (8) на m_1 и m_2 , соответственно, в результате получим:

$$\begin{cases} \ddot{z}_1 + 2h_1 \dot{z}_1 + \omega_{\text{к}_1}^2 z_1 + \eta_1 \ddot{z}_2 = 2h_1 \dot{q}_1 + \omega_{\text{к}_1}^2 q_1; \\ \ddot{z}_2 + 2h_2 \dot{z}_2 + \omega_{\text{к}_2}^2 z_2 + \eta_2 \ddot{z}_1 = 2h_2 \dot{q}_2 + \omega_{\text{к}_2}^2 q_2, \end{cases} \quad (9)$$

где $2h_1 = \frac{2k_{\text{ш}_1}}{m_1}$; $2h_2 = \frac{2k_{\text{ш}_2}}{m_2}$, $\omega_{\text{к}_1}^2 = \frac{2c_{\text{ш}_1}}{m_1}$; $\omega_{\text{к}_2}^2 = \frac{2c_{\text{ш}_2}}{m_2}$; $\eta_1 = \frac{m_3}{m_1}$; $\eta_2 = \frac{m_3}{m_2}$.

Здесь η_1, η_2 – коэффициенты связи; h_1, h_2 – коэффициенты демпфирования колебаний; $\omega_{\text{к}_1}, \omega_{\text{к}_2}$ – частоты собственных колебаний осей УЭС.

Частоты собственных колебаний, соответствующие передним и задним осям УЭС, определяются из выражений [2]:

$$\omega_{\kappa_1}^2 = \frac{1}{2(1-\eta_1\eta_2)} \left[\omega_1^2 + \omega_2^2 + \sqrt{(\omega_1^2 - \omega_2^2)^2 + 4\eta_1\eta_2\omega_1^2\omega_2^2} \right];$$

$$\omega_{\kappa_2}^2 = \frac{1}{2(1-\eta_1\eta_2)} \left[\omega_1^2 + \omega_2^2 - \sqrt{(\omega_1^2 - \omega_2^2)^2 + 4\eta_1\eta_2\omega_1^2\omega_2^2} \right],$$

где ω_1 и ω_2 – парциальные частоты УЭС:

$$\omega_1 = \sqrt{\frac{c_1 L^2}{M(L_2^2 + \rho^2)}}; \quad \omega_2 = \sqrt{\frac{c_2 L^2}{M(L_1^2 + \rho^2)}}.$$

Как видно из приведенных выражений, частоты собственных колебаний осей УЭС ω_{κ_1} и ω_{κ_2} отличаются от парциальных частот. Их также называют частотами связи. Одна из них соответствует низкой, другая – высокой частоте собственных колебаний.

Правые части системы уравнений (9) представляют собой кинематические (внешние) воздействия со стороны опорной поверхности, которые можно представить как:

$$f_1 = (2h_1\dot{q}_1 + \omega_1^2 q_1)\theta(t); \quad f_2 = (2h_2\dot{q}_2 + \omega_2^2 q_2)\theta(t - \tau), \quad (10)$$

где $\theta(t)$ – функция Хевисайда, позволяющая учесть запаздывание воздействия на вторую колесную пару.

В итоге система дифференциальных уравнений (ДУ) принимает вид:

$$\begin{cases} \ddot{z}_1 + 2h_1\dot{z}_1 + \omega_{\kappa_1}^2 z_1 + \eta_1\ddot{z}_2 = f_1; \\ \ddot{z}_2 + 2h_2\dot{z}_2 + \omega_{\kappa_2}^2 z_2 + \eta_2\ddot{z}_1 = f_2. \end{cases} \quad (11)$$

Дополним систему ДУ начальными условиями:

$$z_1(0) = \dot{z}_1(0) = 0; \quad z_2(0) = z_{20}; \quad \dot{z}_2(0) = \dot{z}_{20}. \quad (12)$$

Таким образом, в функциональной математической модели (ФММ), имитирующей динамику транспортного переезда МСХА, колебания передней и задней осей УЭС связаны между собой. Функциональная математическая модель включает распределенную массу МСХА (M), его момент инерции (J), а также упругие ($c_{ш_1}, c_{ш_2}$) и демпфирующие элементы $k_{ш_1}, k_{ш_2}$ шин, воспринимающие и смягчающие толчки со стороны сельскохозяйственного фона (q_1, q_2).

Систему линейных ДУ (11), (12) удобно решать с помощью операционного исчисления. Обозначим изображения оригиналов $z_1(t)$ и $z_2(t)$ как $Z_1(p)$ и $Z_2(p)$, соответственно. Тогда, используя свойства преобразования Лапласа, для изображений получаем следующую алгебраическую систему:

$$\begin{cases} P_{11}Z_1 + P_{12}Z_2 = F_1 + Q_1; \\ P_{21}Z_1 + P_{22}Z_2 = F_2 + Q_2, \end{cases} \quad (13)$$

где $P_{11}(p) = p^2 + 2h_1p + \omega_{\kappa_1}^2$; $P_{12}(p) = \eta_1 p^2$; $P_{21}(p) = \eta_2 p^2$; $P_{22}(p) = p^2 + 2h_2p + \omega_{\kappa_2}^2$.

Функции $F_1(p)$ и $F_2(p)$ есть изображения внешних воздействий $f_1(t)$ и $f_2(t)$. Многочлены $Q_1(p)$ и $Q_2(p)$ определяются с учетом начальных условий. В нашем случае они записываются как:

$$\begin{aligned} Q_1(p) &= \eta_1(pz_{20} + \dot{z}_{20}); \\ Q_2(p) &= pz_{20} + \dot{z}_{20} + 2h_2z_{20}. \end{aligned} \quad (14)$$

Решение системы (13) представим в виде суммы двух слагаемых, первое из которых зависит от внешних воздействий, а второе – от начальных условий:

$$Z_1(p) = Z_1^f(p) + Z_1^q(p); \quad Z_2(p) = Z_2^f(p) + Z_2^q(p), \quad (15)$$

где
$$Z_1^f = pZ_1^{(1)}F_1 + pZ_1^{(2)}F_2; \quad Z_2^f = pZ_2^{(1)}F_1 + pZ_2^{(2)}F_2; \quad (16)$$

$$Z_1^q = \frac{1}{\Delta}(Q_1P_{22} - Q_2P_{12}); \quad Z_2^q = \frac{1}{\Delta}(-Q_1P_{21} + Q_2P_{11}). \quad (17)$$

Функции $Z_{1,2}^{(1,2)}$ имеют вид:

$$Z_1^{(1)} = \frac{1}{p} \frac{P_{22}}{\Delta}; \quad Z_2^{(1)} = -\frac{1}{p} \frac{P_{21}}{\Delta}; \quad Z_1^{(2)} = -\frac{1}{p} \frac{P_{12}}{\Delta}; \quad Z_2^{(2)} = \frac{1}{p} \frac{P_{11}}{\Delta}. \quad (18)$$

Здесь $\Delta = P_{11}P_{22} - P_{12}P_{21}$. Специальный вид функций $Z_{1,2}^f(p)$ дает возможность записать их оригиналы $z_{1,2}^f(t)$ в интегральной форме. Действительно, используя интеграл Дюамеля с учетом начальных условий, имеем:

$$z_1^f(t) = \int_0^t z_1^{(1)}(\xi) \dot{f}_1(t - \xi) d\xi + \int_\tau^t z_1^{(2)}(\xi) \dot{f}_2(t - \xi) d\xi; \quad (19)$$

$$z_2^f(t) = \int_0^t z_2^{(1)}(\xi) \dot{f}_1(t - \xi) d\xi + \int_\tau^t z_2^{(2)}(\xi) \dot{f}_2(t - \xi) d\xi. \quad (20)$$

Далее, заметим, что $\eta_1\eta_2 \ll 1$. Этот факт с достаточной для последующего анализа точностью позволяет пренебречь квадратичными по $\eta_{1,2}$ слагаемыми, в частности, можно положить $\Delta = P_{11}P_{22} - \eta_1\eta_2p^4 \approx P_{11}P_{22}$. Тогда с учетом соотношений (18) парциальные функции $z_{1,2}^{(1,2)}(t)$ могут быть вычислены как оригиналы следующих рациональных выражений:

$$\begin{aligned} Z_1^{(1)}(p) &= \frac{1}{p} \frac{1}{p^2 + 2h_1p + \omega_1^2}; \\ Z_2^{(1)}(p) &= -\eta_2 \frac{p}{(p^2 + 2h_1p + \omega_1^2)(p^2 + 2h_2p + \omega_2^2)}; \\ Z_1^{(2)}(p) &= -\eta_1 \frac{p}{(p^2 + 2h_1p + \omega_1^2)(p^2 + 2h_2p + \omega_2^2)}; \\ Z_2^{(2)}(p) &= \frac{1}{p} \frac{1}{p^2 + 2h_2p + \omega_2^2}. \end{aligned} \quad (21)$$

Аналогично определяется и явный вид оригиналов функций $Z_{1,2}^q(p)$ (17). Физический и графический анализ решений системы (11), (12) будет представлен в отдельной работе, которая готовится в настоящее время к публикации.

Заключение

На основе разработанной ФММ транспортного переезда МСХА, состоящего из универсального энергетического средства УЭС 290/450 и КНК-500, был сформирован алгоритм расчета отдельных характеристик плавности его хода. Сформирована математическая модель, учитывающая распределение масс на передние и задние оси, а также их взаимное влияние друг на друга. Разработан алгоритм решения системы ДУ методами операционного исчисления.

Литература

1. Чудаков, Д. А. Основы теории и расчета трактора и автомобиля / Д. А. Чудаков. – М. : Колос, 1972.
2. Тракторы: Теория / В. В. Гуськов [и др.]. – М. : Машиностроение, 1988. – 384 с. : ил.
3. Многоцелевые гусеничные и колесные машины. Теория / В. П. Бойков [и др.]. – Минск : Новое знание, 2012. – 543 с.
4. Кутьков, Г. М. Тракторы и автомобили. Теория и технологические свойства : учеб. для студентов высш. учеб. зав-ний / Г. М. Кутьков. – М. : КолосС, 2004. – 504 с. : ил.
5. Золотаревская, Д. И. Математическое моделирование колебаний колесного трактора / Д. И. Золотаревская // Тракторы и сельхозмашины. – 2011. – № 7. – С. 14–18.
6. Попов, В. Б. Математическое моделирование мобильного сельскохозяйственного агрегата в режиме транспортного переезда / В. Б. Попов // Вестн. Гомел. гос. техн. ун-та им. П. О. Сухого. – 2005. – № 3 – С. 13–18.
7. Попов, В. Б. Влияние параметров мобильного сельскохозяйственного агрегата на некоторые характеристики плавности его хода в режиме транспортного переезда / В. Б. Попов, С. Ф. Андреев // Вестн. Гомел. гос. техн. ун-та им. П. О. Сухого. – 2014. – № 1. – С. 39–44.

Получено 23.09.2016 г.